



INE5202 - Cálculo Numérico em Computadores

## Relatório EP3

Alunos: Jéssica R. dos Santos e Marcos Machado

Professor: Priscila Cardoso Calegari

Florianópolis, 2024

# Implementação do Método Runge Kutta para solução de um SIR

**Objetivo:** Implementar e analisar resultados do método de Runge Kutta para ordem 4 para solucionar um PVI que descreve um modelo SIR.

## Introdução

O modelo matemático SIR (Susceptible, Infected, Removed) é uma forma muito popular e simples de representar o comportamento de uma doença em um instante de tempo através de funções baseadas numa variável 't' (quantidade de tempo decorrido).

S(t) descreve a quantidade de pessoas suscetíveis à doença, mas ainda não infectadas, em um instante de tempo t.

I(t) descreve a quantidade de pessoas infectadas com a doença em um instante de tempo t.

R(t) descreve a quantidade de pessoas removidas (recuperadas da doença ou falecidas) em um instante de tempo t (o modelo presume que, uma vez que um indivíduo for recuperado, se torna imune, e não pode mais retornar ao grupo de suscetíveis ou infectados).

Essas funções são descritas por meio de um sistema de Equações Diferenciais Ordinárias (EDOs), da forma:

$$\begin{aligned}dS/dt &= -\beta SI \\ dI/dt &= \beta SI - \gamma I \\ dR/dt &= \gamma I\end{aligned}$$

Em que  $\beta$  é a taxa de infecção (taxa com que indivíduos suscetíveis adquirem a condição) e  $\gamma$  a taxa de recuperação (taxa com que indivíduos são recuperados da doença e se tornam imunes).

Nossa tarefa era, dado os valores iniciais de 49 indivíduos suscetíveis, 1 infectado e nenhum removido, e parâmetros para ambas as taxas, realizar uma simulação para a proliferação da doença, usando o método de Runge Kutta de ordem 4 para resolver Problemas de Valor Inicial (PVI), ensinado ao longo do curso. Após isso, deveríamos também resolver o problema assumindo a possibilidade de um distanciamento social, que reduziria a taxa de virulência.

$$\begin{cases} y_0 = y(t_0), \\ y_{k+1} = y_k + \Delta t \left( \frac{k_1 + 2k_2 + 2k_3 + k_4}{6} \right) \end{cases}$$

$$\text{com } k_1 = f(t_k, y_k), k_2 = f\left(t_k + \frac{\Delta t}{2}, y_k + \frac{\Delta t}{2} k_1\right) \text{ e } k_3 = f\left(t_k + \frac{\Delta t}{2}, y_k + \frac{\Delta t}{2} k_2\right) \text{ e } k_4 = f(t_k + \Delta t, y_k + \Delta t k_3).$$

*Algoritmo fornecido pela professora do método de Runge Kutta de ordem 4 (aqui, considerando apenas uma função  $y(t)$  para o sistema: fizemos as modificações adequadas para a solução com 3 funções).*


## Implementação do Runge Kutta

Nossa solução contém 2 programas, uma para cada simulação: com e sem distanciamento social. A diferença única entre elas é a existência de uma nova variável na simulação 2, `beta_fifth`, representando uma redução da taxa de virulência em 5 vezes, por conta do distanciamento.



```
1 # Definindo novo valor de beta reduzido em cinco vezes
2 beta_fifth = beta / 5
```

Primeiramente, cada programa conta com 3 funções auxiliares que implementam o sistema de EDOs do SIR (demonstrados na introdução acima).



```
1 # Definindo as EDOs do modelo SIR
2 def dS_dt(S, I, R, t):
3     return -beta * S * I
4
5 def dI_dt(S, I, R, t):
6     return beta * S * I - gamma * I
7
8 def dR_dt(S, I, R, t):
9     return gamma * I
```

Estas são usadas na função principal do código, `runge_kutta()`, que usa o método Runge\_Kutta de quarta ordem para achar os valores de S, I e R. Ele calcula os valores  $k_1$ ,  $k_2$ ,  $k_3$  e  $k_4$  para cada variável, e calcula o próximo termo baseado nestes valores (ver algoritmo na introdução do relatório). Vale ressaltar que, por conta de como funciona o sistema de montagem de gráficos da biblioteca matplotlib do Python, implementamos S, I e R como um vetor com todos os termos gerados do método, a fim de obtermos gráficos das nossas soluções).

```

1  def runge_kutta(S0, I0, R0, t0, tn, h):
2      t = np.arange(t0, tn+h, h)
3      S = np.zeros(len(t))
4      I = np.zeros(len(t))
5      R = np.zeros(len(t))
6
7      S[0], I[0], R[0] = S0, I0, R0
8
9      for i in range(1, len(t)):
10         k1_S = dS_dt(S[i-1], I[i-1], R[i-1], t[i-1])
11         k1_I = dI_dt(S[i-1], I[i-1], R[i-1], t[i-1])
12         k1_R = dR_dt(S[i-1], I[i-1], R[i-1], t[i-1])
13
14         k2_S = dS_dt(S[i-1] + k1_S * h / 2, I[i-1] + k1_I * h / 2, R[i-1] + k1_R * h / 2, t[i-1] + h / 2)
15         k2_I = dI_dt(S[i-1] + k1_S * h / 2, I[i-1] + k1_I * h / 2, R[i-1] + k1_R * h / 2, t[i-1] + h / 2)
16         k2_R = dR_dt(S[i-1] + k1_S * h / 2, I[i-1] + k1_I * h / 2, R[i-1] + k1_R * h / 2, t[i-1] + h / 2)
17
18         k3_S = dS_dt(S[i-1] + k2_S * h / 2, I[i-1] + k2_I * h / 2, R[i-1] + k2_R * h / 2, t[i-1] + h / 2)
19         k3_I = dI_dt(S[i-1] + k2_S * h / 2, I[i-1] + k2_I * h / 2, R[i-1] + k2_R * h / 2, t[i-1] + h / 2)
20         k3_R = dR_dt(S[i-1] + k2_S * h / 2, I[i-1] + k2_I * h / 2, R[i-1] + k2_R * h / 2, t[i-1] + h / 2)
21
22         k4_S = dS_dt(S[i-1] + k3_S * h, I[i-1] + k3_I * h, R[i-1] + k3_R * h, t[i-1] + h)
23         k4_I = dI_dt(S[i-1] + k3_S * h, I[i-1] + k3_I * h, R[i-1] + k3_R * h, t[i-1] + h)
24         k4_R = dR_dt(S[i-1] + k3_S * h, I[i-1] + k3_I * h, R[i-1] + k3_R * h, t[i-1] + h)
25
26         S[i] = S[i-1] + (h / 6) * (k1_S + 2*k2_S + 2*k3_S + k4_S)
27         I[i] = I[i-1] + (h / 6) * (k1_I + 2*k2_I + 2*k3_I + k4_I)
28         R[i] = R[i-1] + (h / 6) * (k1_R + 2*k2_R + 2*k3_R + k4_R)
29
30     return t, S, I, R

```

## Experimentação e Análise dos Resultados

Como demonstrado nos gráficos abaixo, a primeira e segunda simulação retornam resultados muito diferentes.

Na primeira simulação, por falta de medidas protetivas como o distanciamento social, o número de infectados,  $I(t)$ , subiu rapidamente, atingindo um ápice preocupante. Entretanto, isso também ocasionou num fim rápido para a doença, visto, que, o aumento no número de infectados levou a um aumento no número de removidos, fazendo com que  $I$  e  $S$  caíssem rapidamente. Na simulação 1, a doença já está quase extinta.

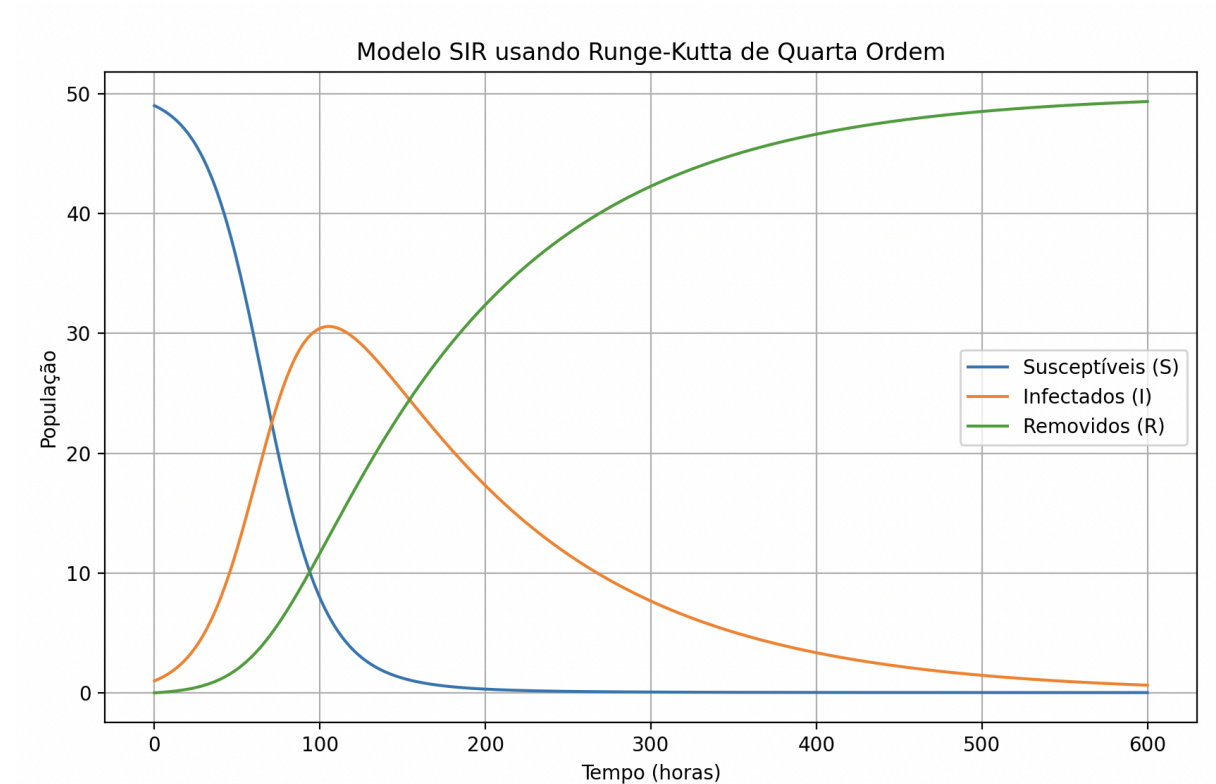
Na simulação 2, vemos um estrago muito menor, com a quantidade de infectados se mantendo baixa durante todo o período. Entretanto, por conta disso, a doença ainda está se transmitindo: menos pessoas infectadas levam a menos pessoas se tornando imunes.

Interessantemente, é possível realizar uma analogia com o mundo real através desses resultados: o distanciamento social desacelera a extinção da doença, mas também diminui o seu impacto e impede um crescimento súbito e acentuado no número de infectados.

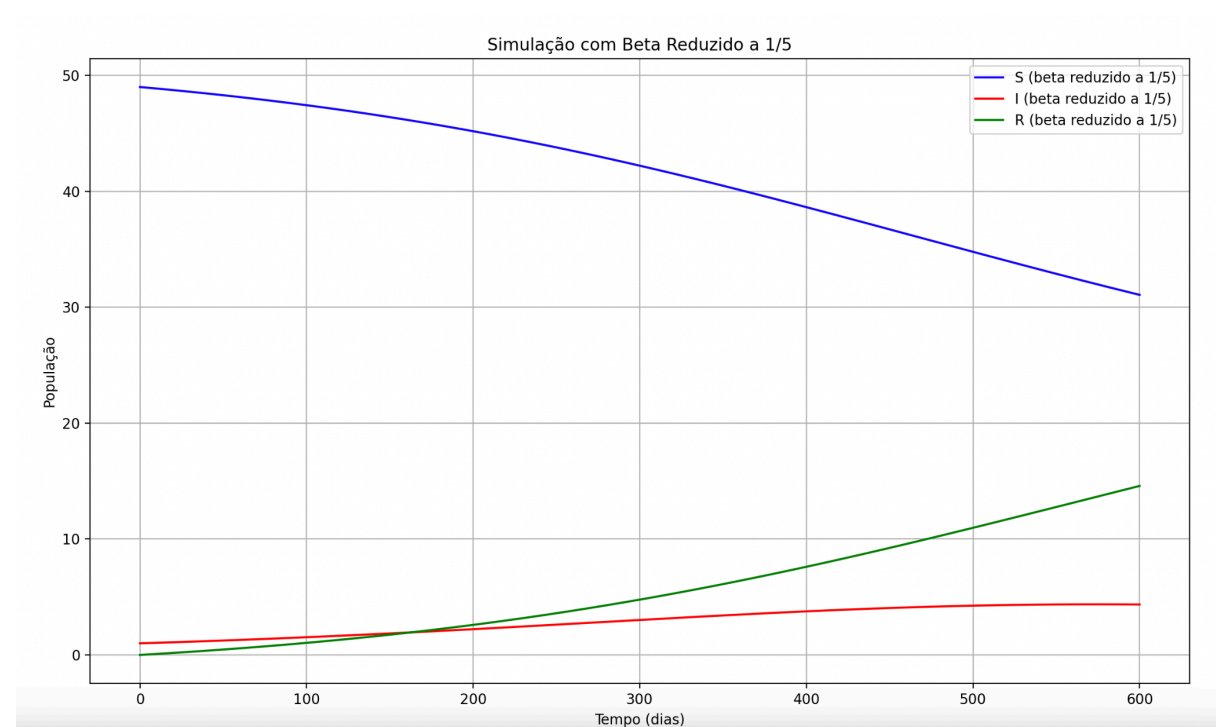
(É importante lembrar que essa simulação é muito simples, desconsiderando fatores como: vacinas, nascimentos, falecimentos por outras causas, pessoas naturalmente imunes, entre muitos outros fatores de um contexto real. Por exemplo, se considerássemos tratamento como vacinas - ou seja, formas de suscetíveis se tornarem removidos sem passar pelo estágio de infectados - através de uma taxa de vacinação  $\phi$ , representando a taxa com que pessoas são vacinadas, poderíamos alterar as equações do sistema para  $dS/dt = -\beta SI - \phi S$ ,  $dI/dt = \beta SI - \gamma I$

e  $dR/dt = \gamma I + \phi S$ . Esse é um modelo muito interessante que pode ser alterado de várias formas para produzir resultados diferentes.)

## Gráficos



*Gráfico da Simulação 1*



*Gráfico da Simulação 2*

## Tabelas

- 5 dias = 120 horas;
- 10 dias = 240 horas;
- 15 dias = 360 horas;
- 20 dias = 480 horas;
- 25 dias = 600 horas;

	Valores Padrão	Resultado com distanciamento social
<b>S(120)</b>	3.60	47.04
<b>I(120)</b>	29.69	1.65
<b>R(120)</b>	16.71	1.31
<b>S(240)</b>	0.14	44.08
<b>I(240)</b>	12.53	2.53
<b>R(240)</b>	37.33	3.38
<b>S(360)</b>	0.04	40.12
<b>I(360)</b>	4.66	3.48
<b>R(360)</b>	45.29	6.40
<b>S(480)</b>	0.03	35.55
<b>I(480)</b>	1.72	4.18
<b>R(480)</b>	48.25	10.26
<b>S(600)</b>	0.02	31.07
<b>I(600)</b>	0.64	4.35
<b>R(600)</b>	49.34	14.58

## **Problemas/Dificuldades Encontradas**

Durante o desenvolvimento do projeto, encontramos algumas dificuldades:

- Implementação do método: Alterar o método de Runge-Kutta de quarta ordem de uma única função  $y(t)$  para um sistema de três funções (S, I, R) exigiu entendimento cuidadoso das interações entre as equações. Foi necessário garantir que os cálculos de  $k_1$ ,  $k_2$ ,  $k_3$  e  $k_4$  para cada função fossem aplicados de maneira complementar.
- Implementação com distanciamento social: A introdução de uma nova variável para representar a redução da taxa de infecção devido ao distanciamento social adicionou um pouco mais de complexidade, principalmente, garantir que essa nova variável fosse corretamente integrada ao sistema de EDOs e ajustada conforme necessário.
- Visualização dos resultados: Gerar gráficos claros e informativos com a biblioteca matplotlib exigiu várias iterações. Tivemos que ajustar os eixos, rótulos, legendas e cores para garantir que os gráficos fossem fáceis de interpretar e comparáveis entre as duas simulações.

## **Agradecimento**

Foi ótimo ser teu aluno esse semestre :) Foi muito boa a experiência com a realização dos EPs ->,esse foi o que teve o contexto mais interessante e atrativo, aliás! Boas férias, Professora Priscila!

- Marcos

Foi muito bom ser sua aluna nesse semestre, professora Priscila, você é uma querida! Concordo com o Marcos, esse EP foi especialmente interessante devido ao seu contexto prático/social. Também agradeço ao Marcos por ser meu parceiro ao longo do semestre, será um profissional incrível. Boas férias a todos!

- Jéssica